

Output ที่ได้จากการ

ผลงานบางส่วนได้รับการตีพิมพ์เผยแพร่ในวารสารวิชาการที่มีผู้ทรงคุณวุฒิร่วมกลั่นกรอง
(Peer Review)

1. เรื่อง “การศึกษาผลของความเข้มข้นของสารละลายโซเดียมไฮดรอกไซด์และสารประกอบอะลูมิเนียมต่อการเกิดເອຫทรິງໄກຕີໃນວັສດຸຈີໂພລິເມອ້ຈາກເກ້າລອຍຮະບວນการເພາຄ່ານທຶນແບບຝູວິດໄດ້ເບດ” วารสารวิชาการเทคโนโลยีอุตสาหกรรม ปีที่ 8 (2555) ฉบับที่ 3, หน้า 1-8.
2. เรื่อง “Microstructure of alkali-activated FBC fly ash composites with Al(OH)_3 and silica fume” World Academy of Science, Engineering and technology 79, 2013, 1467-1470.

Journal of Industrial Technology

"A peer-reviewed, free-access online, free publication with impact factor"



ราชวิทยาลัยเทคโนโลยี
The Journal of Industrial Technology

นิตยสารวิชาการ

- ที่นี่เดือน
- ตั้งค่าพิมพ์หน้า
- ผลการค้นหาที่เกี่ยวข้อง
- สร้างบัญชีการอ่าน
- ผู้ดูแลห้องน้ำในการซื้อตั๋วเข้าชม
- ตรวจสอบไฟฟ้าและอุปกรณ์
- ผู้ดูแลห้องน้ำ
- ผู้ดูแลห้องน้ำ

Impact Factor

0.148 in 2013

ISSN: 1686-9869



Visitors (since 18 August 2011)

1,141
Hits/Day
1,141
Visitors
1,141
Visitors

รายงานวิชาการเทคโนโลยีอุตสาหกรรม ปีที่ 8 (2555) ฉบับที่ 3



บทความวิจัย

การศึกษาพัฒนาความตื้นของสารระดับไนโตรเจนไฮยาติกด้วยกระบวนการ
ดักจับนิยามน้ำก่อการหักเหที่รีไซเคิลในชั้นดินโดยไม่เพิ่มร่องรอยถ้าอย่างไรก็ตามกระบวนการนี้ก่อ
ให้กับน้ำที่ใสสะอาดและอุดมด้วยน้ำร้อนที่ดีกว่า

การศึกษาลักษณะพิเศษของเครื่องทำความเย็นสำหรับห้องเย็นในกระบวนการแปรรูป
ส่วนใหญ่ สำเร็จ รังสินธุ์ พิสุทธิ์ แห่งมหาวิทยาลัยเชียงใหม่ และ บริลล จันทร์

การออกแบบและพัฒนาระบบตัดหน้าที่ดูดซับของห้องเย็นด้วยวิธี Map Reduce บน
กระบวนการจัดงานของ Hadoop
ชัยันต์ รัตน์ ภิรมย์

Effect of the sludge recirculation rate on the performances of a two-stage anoxic-submerged membrane bioreactor (A-SMBR) for the treatment of seafood wastewater
Porntip Choksuchart, Sridang Jorge Lobos and Chansongkla Kaiman

การศึกษาพัฒนาการติดตั้งเครื่องดูดซับด้วยเทคนิคการติดตั้งชั้นของลักษณะเชื้อ
ชรา ชรา แหล่ง ปราโมทย์ วงศ์อ่อน และ ชีรุตดา ไกยิ่งการติดตั้ง

เทคนิคของระยะเวลาต่อการติดตั้งและอัลตร้าฟิล์มที่ใช้กับพื้นที่ห้องเย็นและห้องเย็น
เชื้อชรา เชื้อชรา แหล่ง ปราโมทย์ และ ชาลีสา วิษณุรงค์

Determination Model of Phase-Change Correction for High Precision Gauge Block
Calibration
Pawat Phuaknoi Samana Phiengbangyang Jariya Buajareem and Anusorn Tonmueanwai

การบันทึกภาพและสัมผัสทางวิทยาของหลักสิทธิ์ PLA บนพื้นผืนฐานในเกตต์
อิเล็กทรอนิกส์ รัตน์ ภิรมย์

บทความวิชาการ

From Optically Pumped Molecular Lasers to Multi-Frequency Beam Splitters
Amarin Ratanavis

แนวทางสำหรับการปรับปรุงคุณภาพผ่านพิมพ์เกรดสำหรับเทคโนโลยี "NP & P Separation"
ศิริรัตน์ ศรีรัตน์

ISI Web of Knowledge

The 4th Multi-Functional Materials and Structures (MFMS 2013)
14 to 17 July 2013 Bangkok, Thailand

การศึกษาผลของความเข้มข้นของสารละลายโซเดียมไฮดรอกไซด์และสารประกอบ อะลูมิเนียมต่อการเกิดເອທກຮິງໄກຕ์ໃນວັສດຸຈີໂອໂພລິມອ້ຈາກເຄົາລອຍກະນວນກາເພາດ່ານຫີນ ແບນຟູອົດໄດ້ເບັດ

คิรานันท์ ไทยวิชญ์เจริญ และอุบลลักษณ์ รัตนศักดิ์*

บทคัดย่อ

ເຄົາລອຍກະນວນກາເພາດ່ານຫີນແບນຟູອົດໄດ້ເບັດ (FBC) ມີປຣິມານແຄລເຊີມຫັດເຟ (CaSO₄) ສູງ ເນື່ອງຈາກໃນຂັ້ນຕອນກາເພານີກາພັນຫີນປູນເຂົາໄປເພື່ອຈັນກັບ SO_x ໄດ້ເປັນສາරປະກອບແຄລເຊີມຫັດເຟ (CaSO₄) ຜຶ່ງສາມາດທຳມາຢູ່ກີ່ຽວກັບອະລຸມິນາໃນເກົ່າລອຍ FBC ໃນສກວາງເບັດເກີດເປັນສາරປະກອບແຄລເຊີມຫັດໂພຣຸມິນັດ (ຫົວໜ້ອເອທກຮິງໄກຕ์) ໄດ້ ຈານວິຈິນີໄດ້ສຶກສາຜົນການພົມພັນຫີນໂພຣຸມິນັດໃຫຍໍໄດ້ກັບອະລຸມິນາໃນເກົ່າລອຍ FBC ນອກຈາກນີ້ ຊັ້ນປ່ວນປ່ຽງສົມບັດຂອງຈີໂອໂພລິມອ້ໄສ ໂດຍກາເພີ່ມສາරປະກອບອະລຸມິນັດ ໂດຍກາຜສມເຄົາລອຍ FBC ກັບສາරປະກອບອະລຸມິນັດ ໄສດຣອກໄຊດ໌ ສາຮລາຍໂຫຼືໂຫຼືເກີດ ແລ້ວສາຮລາຍໂຫຼືໂຫຼືເກີດ ເພື່ອປ່ລິ່ນສາරປະກອບແຄລເຊີມໃນເກົ່າລອຍເປັນສາරປະກອບແຄລເຊີມອະລຸມິນັດ ໄຍເຕຣດແລະອະລຸມິນິຈິລິກົດ ຜຶ່ງໃຫ້ກຳລັງແກ່ວັສດຸຈີໂອໂພລິມອ້ ຜຶ່ງພວກວ່າການໃຊ້ສາຮລາຍໂຫຼືໂຫຼືເກີດ ໄສດຣອກໄຊດ໌ ຄວາມເຂັ້ມຂັ້ນ 15 ໂມື່ນຄ່າຮ່າງໄນ້ພັນກາເກີດເອທກຮິງໄກຕ່ ແລ້ວກາໃຊ້ສາຮປະກອບອະລຸມິນັດ ໄສດຣອກໄຊດ໌ໄມ້ເກີນຮ້ອຍລະ 2.5 ຂອງປຣິມານເກົ່າລອຍໃນກາເພີ່ມຈີໂອໂພລິມອ້ສາມາດໃຫ້ກຳລັງອັດທີ່ອາຍຸ 90 ວັນເທົ່າກັນ 35 ເມັກກະປາສຄາລ ໃນຂະໜາກທີ່ການເພີ່ມສາຮປະກອບອະລຸມິນັດ ໄສດຣອກໄຊດ໌ ເປັນຮ້ອຍລະ 5 ທຳໄຫ້ເກີດສາຮປະກອບໂຫຼືເກີດອະລຸມິນັດຈີ່ນີ້ມີຜລຕ່ອກກຳລັງອັດທີ່ລົດລົງ

คำสำคัญ : ຈີໂອໂພລິມອ້, ເຄົາລອຍຟູອົດໄດ້ເບັດ, ເອທກຮິງໄກຕ່, ອະລຸມິນັດ ໄສດຣອກໄຊດ໌

* ศูนย์ความเป็นเลิศด้านนวัตกรรมทางเคมี ภาควิชาเคมี คณะวิทยาศาสตร์ มหาวิทยาลัยบูรพา

ผู้ดูแลคิดต่อ, อีเมล : uboil@buu.ac.th รับเมื่อ 14 พฤศจิกายน 2554 ตอบรับเมื่อ 26 ธันวาคม 2554

Study of the NaOH concentration and aluminium compound on the ettringite formation in fluidized bed combustion (FBC) fly ash geopolymers

Siwanant Thaiwitcharoen and Ubolluk Rattanasak*

Abstract

Fluidized bed combustion (FBC) fly ash contains high amount of calcium sulfate (CaSO_4) due to feeding of lime into the combustion process to capture the SO_x gases. The CaSO_4 can be formed and react with alumina in the FBC fly ash under base condition resulted in calcium sulfoaluminate (ettringite). Therefore, effect of sodium hydroxide (NaOH) concentration on ettringite formation in FBC fly ash geopolymers was studied. In addition, the properties of geopolymers were improved by the addition of aluminium compound. The geopolymers were prepared from FBC fly ash mixed with aluminum hydroxide (Al(OH)_3), sodium silicate and sodium hydroxide solution which Al(OH)_3 could convert the calcium compound in FBC fly ash to calcium aluminate hydrate and aluminosilicate. It exhibited the strength gain of geopolymers. It was found that there is no sign of ettringite formation when 15 M NaOH was used. Use of Al(OH)_3 not exceed 2.5% by weight of FBC fly ash in geopolymer preparation gave the compressive strength of 35 MPa at 90 days, while that of Al(OH)_3 at 5% by weight resulted in sodium aluminate formation and strength reduction.

Keywords : Geopolymer, Fluidized bed combustion fly ash, Ettringite, Aluminium hydroxide

Department of Chemistry and Center of Excellence for Innovation in Chemistry, Faculty of Science, Burapha University

*Corresponding author, E-mail: ubolluk@buu.ac.th Received 14 November 2011 ; Accepted 26 December 2012

1. ความเป็นมาและความสำคัญ

ในปัจจุบันได้มีการวิจัยที่นำวัสดุเหลือทิ้งจากอุตสาหกรรมมาผลิตวัสดุเชิงนิคใหม่มากขึ้น เพื่อทดแทนการกำจัดโดยการฝังกลบ และลดการใช้ปริมาณปูนซีเมนต์ให้น้อยลง วัสดุจีโอโพลิเมอร์เป็นวัสดุใหม่ที่มีสมบัติการยึดประสานหรือสมบัติคล้ายสารซีเมนต์ที่สามารถผลิตได้จากวัสดุเหลือทิ้งที่มีจิลิกาและอะลูมินาเป็นองค์ประกอบ เช่น เถ้าถ่านหินดินขาวเผา เป็นต้น โดยผสมกับสารละลายอัลคาไลน์ที่ทำให้ได้สารประกอบที่มีสมบัติเป็นวัสดุประสานโดยที่ไม่ต้องใช้ปูนซีเมนต์เป็นส่วนผสม ทำให้วัสดุจีโอโพลิเมอร์มีสมบัติคล้ายคอนกรีต หรือที่เรียกว่า “สารประกอบอะลูมิโนซิลิเกต” [1, 2]

ถ้าหากการเผาถ่านหินแบบใช้ถ่านหินบด (Pulverized coal combustion, PCC) ใช้กันมากในการผสมกับปูนซีเมนต์ หรือผลิตวัสดุจีโอโพลิเมอร์ เนื่องจากถ้าหากชนิดนี้มีสมบัติเป็นสารปอชโซลาน ที่ปริมาณร้อยละ 70 – 90 ซึ่งมีความว่องไวในการเกิดปฏิกิริยามากกว่าถ้าหากการเผาแบบอื่นๆ เช่น ถ้าหากที่ได้จากการเผาแบบฟลูอิด ไคล์เบด (Fluidized bed combustion, FBC) เนื่องจากการเผาแบบ PCC จะ慢าที่ความร้อนปานกลาง อุ่นในช่วง 1100 – 1400 °C ทำให้ได้ถ้าหากที่มีสมบัติที่ดีต่อการทำปฏิกิริยา ซึ่งมีความเป็นอสัมฐานสูง ในขณะที่การเผาแบบ FBC เป็นการเผาแบบความร้อนต่ำ คือช่วงอุณหภูมิการเผาต่ำกว่า 900 °C ถ้าหากที่ได้ซึ่งมีรูปร่างที่ไม่แน่นอน และมีความเป็นผลึกค่อนข้างสูง เนื่องจากอุณหภูมิในการเผาถ่านหินไม่สูงพอ จึงไม่นิยมน้ำถ้าหาก FBC มาใช้เป็นสารปอชโซลาน [1] แต่วิธีการเผาแบบ FBC นี้เริ่มมีการใช้มากขึ้นในการผลิตกระถางไฟฟ้าขนาดเล็กในโรงงานต่างๆ และเป็นเทคโนโลยีระดับโลกในการเผาถ่านหิน เมื่อเทียบกับการเผาประเภทอื่นๆ เนื่องจากมีการพ่นปูนขาวเข้าไปปั้นกับก้าชัลเฟอร์อ็อกไซด์ (SO_x) ทำให้ปริมาณกัมมะถันที่ปล่อยออกมานิดลง ได้ถึงร้อยละ 90 ทำให้ถ้าหาก FBC นี้มีปริมาณของแคลเซียมออกไซด์ หรือหินปูนสูง ไม่เหมาะสมในการนำมาผสมกับปูนซีเมนต์เพื่อผลิตคอนกรีต ซึ่งในแต่ละปีจะมีถ้าหาก FBC ที่ต้องกำจัดเป็นจำนวนมาก [3, 4]

เพื่อเป็นการใช้ประโยชน์ถ้าหาก FBC ให้มากขึ้น งานวิจัยนี้จึงศึกษาสมบัติของวัสดุจีโอโพลิเมอร์จากถ้าหาก FBC อย่างไรก็ตาม ถ้าหาก FBC มีปริมาณแคลเซียมชัลเฟด (CaSO_4) หรืออิปั้ชัมบรีามนาค ซึ่งเกิดจากปฏิกิริยาระหว่างหินปูนกับก้าชัลเฟอร์อ็อกไซด์ จึงสามารถเกิดปฏิกิริยา กับอะลูมินาในถ้าหาก FBC เกิดเป็นอ๊อกทิ้งไกค์ได้ ซึ่งทำให้วัสดุจีโอโพลิเมอร์ไม่มีความเสถียรชิงปริมาตร ดังนั้นต้องหาแนวทางควบคุมการเกิดอ๊อกทิ้งไกค์

นอกจากนี้ งานวิจัยนี้ยังศึกษาหาแนวทางในการปรับปรุงคุณภาพวัสดุจีโอโพลิเมอร์จากถ้าหาก FBC ซึ่งถ้าหาก FBC มีปริมาณอะลูนาเป็นส่วนประกอบในปริมาณน้อย ดังนั้นจึงทำการเพิ่มปริมาณอะลูมิเนียมไออกอนในส่วนผสม โดยวิธีนำถ้าหาก FBC ผสมสารประกอบอะลูมิเนียมไฮดรอกไซด์ (Al(OH)_3) เพื่อทำปฏิกิริยากับสารประกอบแคลเซียมได้สารประกอบแคลเซียมอะลูมิเนตไไซเครต (CAH) และอะลูมิโนซิลิเกต โดยควบคุมการเกิดอ๊อกทิ้งไกค์ เพื่อให้จีโอโพลิเมอร์ที่ได้มีสมบัติใกล้เคียงกับคอนกรีต อีกทั้งยังเพิ่มศักยภาพการใช้ประโยชน์จากของเสียในเชิงพาณิชย์อีกด้วย

2. ขอบเขตการวิจัย

เพื่อศึกษาผลความเข้มข้นของสารละลายโซเดียมไฮดรอกไซด์ (NaOH) ที่มีผลต่อการเกิดอ๊อกทิ้งไกค์ในจีโอโพลิเมอร์จากถ้าหาก FBC และปริมาณ Al(OH)_3 ที่เหมาะสมที่สุดในการเกิดอ๊อกทิ้งไกค์

3. การทดลอง

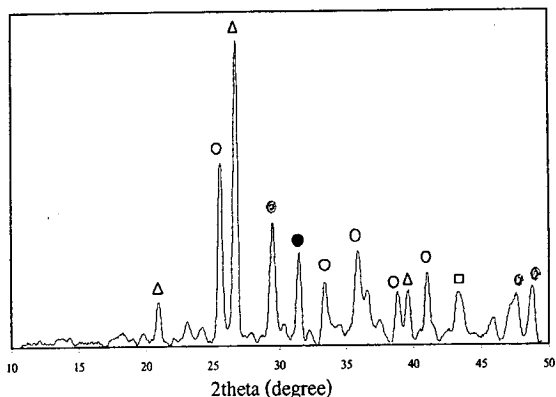
3.1 วัสดุและอุปกรณ์

วัสดุคือที่ใช้ผลิตจีโอโพลิเมอร์ ได้แก่ ถ้าหาก FBC ที่ได้จากการเผาในเตาเผาฟลูอิด ไคล์เบด ที่อุณหภูมิประมาณ 900 °C มีขนาดอนุภาคเฉลี่ย 28.0 ไมครอน ซึ่งวิเคราะห์ด้วยเครื่อง Malvern Mastersizer S วิเคราะห์องค์ประกอบทางเคมีของถ้าหาก X-ray Fluorescence (XRF) ดังแสดงในตารางที่ 1 พบว่าองค์ประกอบหลักของถ้าหากคือ ซิลิกา (SiO_2) แคลเซียมออกไซด์ (CaO) และสารประกอบพากซัลเฟต เนื่องจากในกระบวนการเผาแบบ FBC มีการพ่นปูน

ขาวเพื่อไปปั้นกับก้าชัลเฟอร์ออกไซด์ (SO_x) ทำให้ถ้าลองย FBC มีปริมาณของแคลเซียมออกไซด์และสารประกอบชัลเฟอร์ปริมาณมาก แต่มีปริมาณของอะลูมินา (Al_2O_3) ต่ำ และมีสมบัติทางสัมฐานวิทยาที่วิเคราะห์ด้วยเทคนิค X-ray Diffraction (XRD) ดังแสดงในรูปที่ 1 ซึ่งพบพื้นหลังของผลึกเป็นจำนวนมาก แสดงถึงความว่องไวต่อปฏิกิริยาที่ต่ำของถ้าลองย FBC งานวิจัยนี้ได้ผสมผง $\text{Al}(\text{OH})_3$ เพื่อเพิ่มปริมาณของอะลูมิเนียมในถ้าลองย ส่วนสารละลายประกอบด้วยสารละลายโซเดียมซิลิกาต (Na_2SiO_3) ที่มีปริมาณ SiO_2 ร้อยละ 31 และ Na_2O ร้อยละ 9 โดยน้ำหนักเพื่อเพิ่มปริมาณซิลิกาที่ละลายได้ (Dissolved silica) และช่วยในการก่อตัวของจีโอโพลิเมอร์ นอกจากนี้ใช้สารละลาย NaOH ความเข้มข้น 10,12,15 และ 18 โนลาร์ (M) เพื่อทำหน้าที่จะชักก่อนและอะลูมิเนียมไม้ออนจากถ้าลองย และใช้ตรายเม่น้ำด้านขาด ร้อนผ่านตะแกรงเบอร์ 8 (รูปีด 36 mm) เพื่อผสมเป็นจีโอโพลิเมอร์มอร์ต้าร์

ตารางที่ 1 องค์ประกอบทางเคมีและขนาดอนุภาคเฉลี่ยของถ้าลองย

องค์ประกอบทางเคมี	ปริมาณ (%)
ซิลิกอนออกไซด์ (SiO_2)	21.0
อะลูมิเนียมออกไซด์ (Al_2O_3)	8.0
เหล็กออกไซด์ (Fe_2O_3)	6.9
แคลเซียมออกไซด์ (CaO)	42.2
โซเดียมออกไซด์ (Na_2O)	2.9
ไทเทเนียมออกไซด์ (TiO_2)	2.2
แมกนีเซียมออกไซด์ (MgO)	0.8
ชัลเฟอร์ไตรออกไซด์ (SO_3)	15.0
การสูญเสียน้ำหนักเนื่องจากการเผา (LOI)	1.0
ขนาดอนุภาคเฉลี่ย (ไมครอน)	28.0



รูปที่ 1 XRD ของถ้าลองย FBC

$\triangle = \text{SiO}_2$, $\circ = \text{CaSO}_4$, $\bullet = \text{CaO}$, $\square = \text{Fe}_3\text{O}_4$, $\odot = \text{CaCO}_3$

3.2 การเตรียมจีโอโพลิเมอร์

การเตรียมจีโอโพลิเมอร์เพสต์ที่ผสม NaOH ในความเข้มข้นต่างๆ

จีโอโพลิเมอร์เพสต์ทำโดยผสมถ้าลองย FBC กับสารละลาย Na_2SiO_3 และ NaOH เข้มข้น 10, 12, 15 และ 18 M ที่อัตราส่วนของเจลต่อสารทั้งหมด (S/T) เท่ากับ 0.4 ให้เข้ากัน เทลงแบบเพสต์พลาสติกขนาด 2x2x2 ลบ.นิว หุ้มด้วยพลาสติกใส เพื่อป้องกันการระเหยของน้ำที่ค้างหน้าอย่างรวดเร็ว ก่อนนำไปอบที่อุณหภูมิ 65 °C เป็นเวลา 24 ชั่วโมง จากนั้นแกะตัวอย่าง และเก็บในถุงพลาสติกก่อนนำไปบ่มในตู้ควบคุมอุณหภูมิ 25±3 °C จนครบอาชุดสอน

นอกจากนี้ทำการแทนที่ถ้าลองย FBC ด้วยผง $\text{Al}(\text{OH})_3$ ที่ร้อยละ 2.5 และ 5 โดยน้ำหนักของถ้าลองย เพื่อเพิ่มปริมาณสารประกอบอะลูมิเนียมแก่ส่วนผสม โดยเลือกใช้ความเข้มข้นของ NaOH จากชุดข้อมูลแรกที่ไม่เกิดออกทริงไกค์ ทำการบ่มจีโอโพลิเมอร์ที่ 65 °C เป็นเวลา 24 ชั่วโมง และที่ 25±3 °C ต่อจนครบอาชุดสอน ก่อนนำไปทดสอบสมบัติต่างๆ ตารางที่ 2 แสดงส่วนผสมของจีโอโพลิเมอร์

ส่วนการเตรียมจีโอโพลิเมอร์มอร์ต้าร์ เตรียมเหมือนจีโอโพลิเมอร์เพสต์แต่เติมตรายในขั้นตอนสุดท้ายของการผสมในอัตราส่วนตรายต่ออนุภาคของเจล เท่ากับ 2.0 และทำการบ่มเช่นเดียวกับวิธีที่กล่าวข้างต้น และทำการทดสอบค่ากำลังอัคทุกอาชุดสอน

ตารางที่ 2 ส่วนผสมจีโอโพลิเมอร์จากถ้าลอย FBC (S/T = 0.4)

ส่วนผสม (กรัม)	100FBC	97.5FBC	95FBC
ถ้าลอย FBC	40	39	38
Al(OH) ₃	-	1	2
Na ₂ SiO ₃	40	40	40
NaOH	20	20	20
สภาวะ	0% Al(OH) ₃ และ 10 M NaOH	2.5% Al(OH) ₃ และ 15 M NaOH	5% Al(OH) ₃ และ 15 M NaOH

3.4 การศึกษากำลังอัดของจีโอโพลิเมอร์ตัวร์ต้าร์

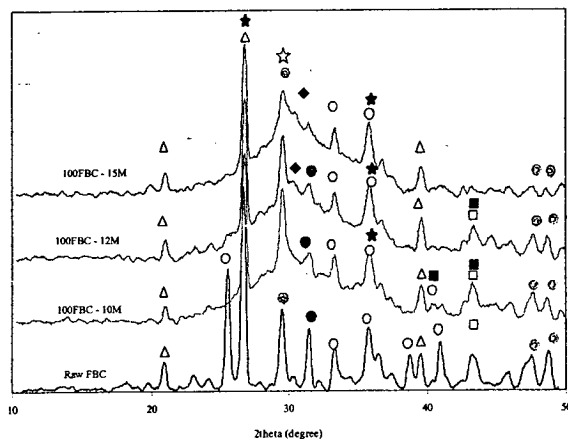
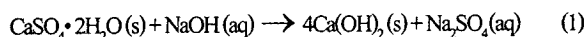
นำจีโอโพลิเมอร์ตัวร์ต้าร์ที่เตรียมไว้ทดสอบกำลังอัดตามมาตรฐาน ASTM C 109 โดยค่ากำลังอัดจะเป็นค่าเฉลี่ยของจีโอโพลิเมอร์ตัวร์ต้าร์ 3 ตัวอย่าง

4. ผลการทดสอบและการวิเคราะห์ผล

4.1 สัณฐานวิทยาของจีโอโพลิเมอร์เพสต์

สัณฐานวิทยาของจีโอโพลิเมอร์เพสต์ที่เตรียมจากสารละลายนาOH ความเข้มข้นต่างกัน ด้วยเทคนิค XRD แสดงในรูปที่ 2 โดยพบพื้นฐานกว้างของจีโอโพลิเมอร์เพสต์ที่ 25-35° 2θ แสดงความเป็นอสัณฐานของจีโอโพลิเมอร์ที่มากกว่าถ้าลอย FBC และยังมีส่วนที่เป็นผลึกอยู่ จีโอโพลิเมอร์ซึ่งเป็นสารประกอบกึ่งผลึก (Semicrystalline) โดยปฏิกิริษาระหว่างเบสกับถ้าลอย FBC ในจีโอโพลิเมอร์ทำให้เกิดการเปลี่ยนโครงสร้างเป็นสารประกอบใหม่ที่มีสมบัติเปลี่ยนไป และการเกิดพื้นฐานกว้างของจีโอโพลิเมอร์เพสต์แสดงถึงปฏิกิริยาที่เกิดขึ้นในจีโอโพลิเมอร์ โดยสารที่พบรูปในจีโอโพลิเมอร์เพสต์ ประกอบด้วยสารประกอบแคลเซียมคาร์บอนेट (CaCO₃) แคลเซียมซิลิเกต แคลเซียมอะลูมิเนต อะลูมิโนซิลิเกต และอे�ಥทริงไกต์ แต่ไม่พบสารดังกล่าวในถ้าลอย FBC แสดงถึงการเกิดสารใหม่เนื่องจากปฏิกิริยาจีโอโพลิเมอร์ชั้นและปฏิกิริยาปอชโซลาน นอกจากนี้ จีโอโพลิเมอร์ที่เตรียมจาก 15 M NaOH จะไม่พบอेथทริงไกต์ (ที่ประมาณ 43° 2θ) เนื่องจากสารละลายนาOH ที่ความเข้มข้น

สูงจะเข้าไปทำปฏิกิริยากับแคลเซียมซัลเฟต (CaSO₄) เกิดแคลเซียมไชครอกไชต์ (Ca(OH)₂) แทนการทำปฏิกิริยากับสารประกอบอะลูมิเนียมที่ทำให้เกิดอेथทริงไกต์ ดังสมการที่ 1 ซึ่งถ้าลอยมีสารประกอบซัลเฟตปริมาณมาก สามารถทำให้เกิดอेथทริงไกต์ได้ และมีผลต่อการขยายตัวของจีโอโพลิเมอร์ที่แข็งตัวแล้วได้ [5]



รูปที่ 2 XRD ของถ้าลอย FBC และตัวอย่างจีโอโพลิเมอร์ที่เตรียมจาก NaOH ความเข้มข้นต่างๆ

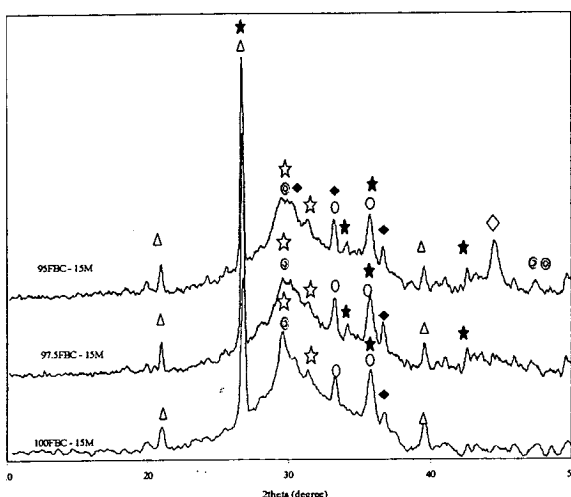
△ = SiO₂, ○ = CaSO₄, ● = CaO, □ = Fe₃O₄, ⊙ = CaCO₃,

■ = Ettringite, ★ = Calcium silicate, ★ = Alumino

silicate, ♦ = Calcium aluminate

ดังนั้นจึงเลือก 15 M NaOH nanopm กับ Al(OH)₃ เพื่อผลิตเป็นจีโอโพลิเมอร์ โดยสัณฐานวิทยาของจีโอโพลิเมอร์ที่ผสม Al(OH)₃ ร้อยละ 2.5 และ 5 ของปริมาณถ้าลอย FBC แสดงในรูปที่ 3

จากรูปที่ 3 ไม่พบการเกิดอेथทริงไกต์ในจีโอโพลิเมอร์ที่ผสม Al(OH)₃ แต่พบสารประกอบอะลูมิโนซิลิเกตมากขึ้น นอกจากนี้ยังพบสารประกอบแคลเซียมซิลิเกตและแคลเซียมอะลูมิเนต ซึ่งเป็นสารที่ให้กำลังแก่จีโอโพลิเมอร์ตามอาชญากรรม บ่อม อย่างไรก็ตาม การผสม Al(OH)₃ ร้อยละ 5 ทำให้เกิดสารประกอบโซเดียมอะลูมิเนต ซึ่งเกิดจากการทำปฏิกิริยาระหว่าง 15 M NaOH และ Al(OH)₃ ที่มากเกินพอ ซึ่งสารประกอบดังกล่าวเป็นสารซีโอไฮด์ [6] ทำให้จีโอโพลิเมอร์รับแรงได้น้อยลง



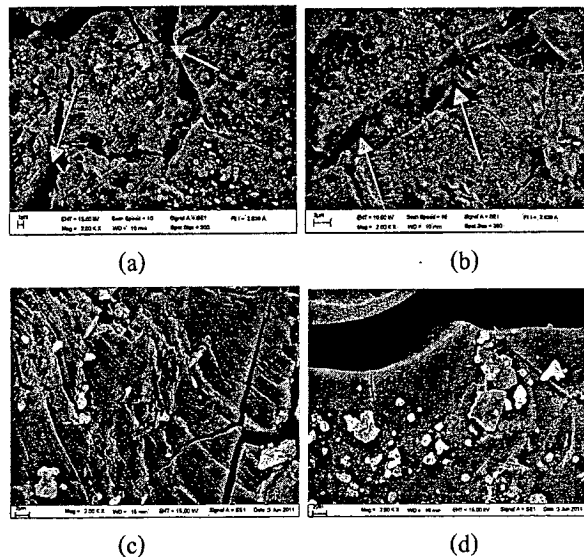
รูปที่ 3 XRD ของจีโอโพลิเมอร์จากถ่านหิน FBC ที่ผสม $\text{Al}(\text{OH})_3$ ที่เตรียมจาก 15M NaOH

$\triangle = \text{SiO}_2$, $\circ = \text{CaSO}_4$, $\bullet = \text{CaO}$, $\odot = \text{CaCO}_3$,

$\blacksquare = \text{Ettringite}$, $\star = \text{Calcium silicate}$, $\star\odot = \text{Alumino silicate}$, $\blacklozenge = \text{Calcium aluminate}$, $\diamond = \text{Sodium aluminate}$

4.2 โครงสร้างจุลภาคของจีโอโพลิเมอร์เพสต์

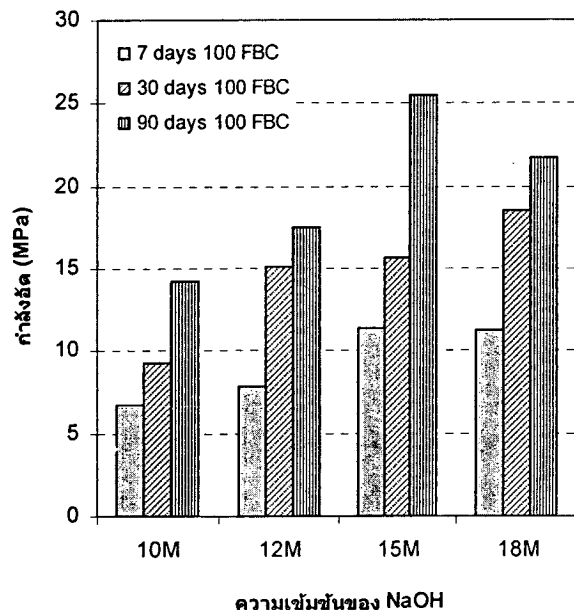
รูปที่ 4 แสดงโครงสร้างทางจุลภาคของจีโอโพลิเมอร์เพสต์และพนอนุภาคของถ่านหิน FBC ที่ไม่เกิดปฏิกิริยา เมื่อจีโอโพลิเมอร์ (Geopolymer matrix) และรอยแตก โดยพบว่าทั้งไกค์รูปเป็นความรอยแตกหรือช่องว่างของพื้นผิวของจีโอโพลิเมอร์ที่เตรียมจาก 10M และ 12M NaOH ดังแสดงในรูปที่ 4 a และ b ซึ่งสอดคล้องกับผลของ XRD ที่พบว่าคงเหลือไกค์ แต่จีโอโพลิเมอร์ที่เตรียมจาก 15 M NaOH ไม่พบเศษไกค์ตามรอยแตก เนื่องจากสารละลายจะเดินไปครองไชค์มีความเข้มข้นมากขึ้นจะทำปฏิกิริยากับเคลเซียมชัลฟेट ทำให้เกิดแคลเซียมไชค์ ซึ่งเคลเซียมไชค์จะทำปฏิกิริยาต่อกับซิลิ喀 และจะถูกน้ำจากถ่านหินเกิดเป็นแคลเซียมซิลิเกตไชค์ (CSH) และเคลเซียมอะกูมินेटไชค์ (CAH) หรือที่เรียกว่าปฏิกิริยาโซโซลาน จีโอโพลิเมอร์ที่ผสม $\text{Al}(\text{OH})_3$ ร้อยละ 2.5 และ 5 ที่เตรียมจาก 15 M NaOH ไม่พบเศษไกค์ตามรอยแตก ช่องว่างของโครงสร้างเช่นกัน



รูปที่ 4 โครงสร้างทางจุลภาคของจีโอโพลิเมอร์เพสต์จากถ่านหิน FBC เมื่อแบร์ พนอนุภาคของ NaOH (a) 100FBC-10 M NaOH, (b) 100FBC-12 M NaOH, and (c) 100FBC-15 M NaOH, (d) 97.5FBC – 15 M NaOH

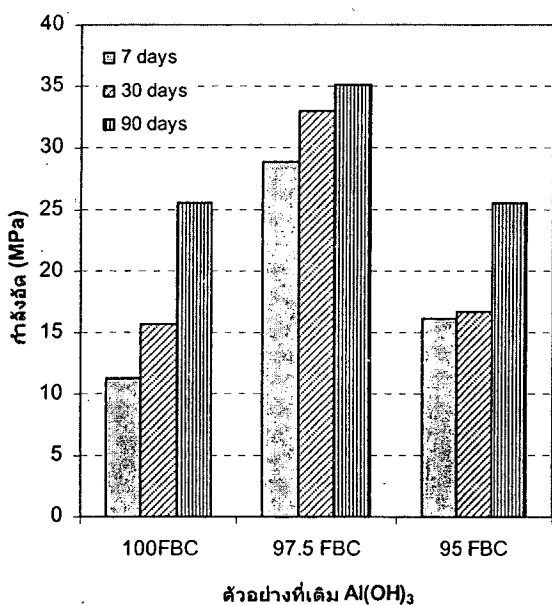
4.3 กำลังอัดของจีโอโพลิเมอร์มอร์ต้าร์

ค่ากำลังอัดของจีโอโพลิเมอร์มอร์ต้าร์จากถ่านหิน FBC ถ้วนแสดงในรูปที่ 5



รูปที่ 5 ค่ากำลังอัดของจีโอโพลิเมอร์มอร์ต้าร์จากถ่านหิน FBC ที่อายุ 7 30 และ 90 วัน

จีโอโพลิเมอร์ที่อายุ 90 วันให้ค่ากำลังอัดที่สูงที่สุด เนื่องจากจีโอโพลิเมอร์ต้องการระยะเวลาในการเกิดปฏิกิริยาให้สมบูรณ์ เนื่องจากเดาลอย FBC มีปริมาณแคลเซียมในถ้าอยู่ในปริมาณมาก เมื่อทำปฏิกิริยากับสารละลายโซเดียมซิลิเกต และสารละลายโซเดียมไฮดรอกไซด์ สามารถเกิดเป็นสารประกอบ CSH ซึ่งสารนี้จะให้กำลังอัดแก่จีโอโพลิเมอร์ ซึ่งเป็นค่ากำลังอัดที่เพิ่มขึ้นตามระยะเวลาการบ่ม และความเข้มข้นของสารละลาย NaOH เป็นอีกหนึ่งปัจจัยที่ทำให้ค่ากำลังอัดของจีโอโพลิเมอร์สูงขึ้นด้วยเช่นกัน เมื่อความเป็นเบスマากขึ้น หรือความเข้มข้นของสารละลาย NaOH เพิ่มขึ้น นั้น จะส่งผลให้การเกิดปฏิกิริยาได้เป็น $\text{Ca}(\text{OH})_2$ ปริมาณมากขึ้น ซึ่งสารดังกล่าวสามารถทำปฏิกิริยากับซิลิกาในเดาลอย FBC เกิดปฏิกิริยาปอชโซลานได้



รูปที่ 6 ค่ากำลังอัดของจีโอโพลิเมอร์มอร์ตาร์จากเดาลอย FBC ที่ผสม Al(OH)_3 ที่อายุ 7 30 และ 90 วัน

นอกจากนี้สารละลาย NaOH ที่ความเข้มข้นสูงขึ้น ทำให้ความสามารถในการซัลฟิลิกอนและอะลูมิเนียมจากเดาลอย FBC มีมากขึ้น เกิดปฏิกิริยาจีโอโพลิเมอร์เร็วขึ้นได้คีชั่น ทำให้มีซิลิกอนไอลอยและอะลูมิเนียมไอลอยรวมเป็นสายโซ่จีโอโพลิเมอร์ส่งผลให้ความสามารถในการรับกำลังอัดดีขึ้น ด้วย [7] อย่างไรก็ตาม การใช้สารละลาย 18 M NaOH ให้ค่า

กำลังอัดลดลง ซึ่งอาจเกิดจากความหนืดของสารละลายที่มาก ขึ้น ทำให้สารละลาย NaOH เกิดการตกผลึกได้ และเกิดเจลที่ขัดขวางการซัลฟิลิกอนและอะลูมิเนียมไอลอยได้ [7]

เมื่อผสม Al(OH)_3 ในส่วนผสมจีโอโพลิเมอร์จากเดาลอย FBC ส่งผลด้านกำลังอัด ดังแสดงในรูปที่ 6 พบว่า Al(OH)_3 ช่วยเพิ่มประสิทธิภาพด้านกำลังอัดของจีโอโพลิเมอร์ ทำให้ค่ากำลังอัดของจีโอโพลิเมอร์สูงขึ้นกว่าจีโอโพลิเมอร์ที่ไม่ได้เติม Al(OH)_3 จีโอโพลิเมอร์ที่ผสม Al(OH)_3 ร้อยละ 2.5 ที่อายุ 90 วัน ให้ค่ากำลังอัดสูงที่สุด 35 เมกะปานาแคล ซึ่งอะลูมิเนียมทำปฏิกิริยากับซิลิกาภายใต้สภาวะเบส ได้เป็นสารประกอบอะลูมิโนซิลิเกต และทำปฏิกิริยากับแคลเซียมได้สารประกอบแคลเซียมอะลูมิเนต ซึ่งสารทั้งสองสามารถเตรียมแรงให้แก่จีโอโพลิเมอร์ อย่างไรก็ตาม จีโอโพลิเมอร์ที่ผสม Al(OH)_3 ร้อยละ 5 จะได้ค่ากำลังอัดที่ลดลง เนื่องจากเกิดสารประกอบซิโอลิค พวกรโซเดียมอะลูมิเนต ดังแสดงโดยผล XRD

5. สรุปผลการทดลอง

จากการวิจัยพบว่า ความเข้มข้นของ NaOH มีผลต่อการเกิดออกทริง ไกค์ในจีโอโพลิเมอร์จากเดาลอย FBC โดยการใช้ 15 M NaOH ไม่พบการเกิดออกทริงไกค์ เนื่องจากสารบะกอนบอนแคลเซียมชัลเฟตถูกเปลี่ยนเป็นแคลเซียมไฮดรอกไซด์ ซึ่งเป็นสารตั้งต้นของปฏิกิริยาปอชโซลาน ทำให้จีโอโพลิเมอร์รับกำลังอัดได้ดีขึ้น ด้านการผสมสารประกอบ Al(OH)_3 ที่ร้อยละ 2.5 ให้ค่ากำลังอัดที่สูงขึ้นกว่า เมื่อจากการเกิดสารประกอบอะลูมิโนซิลิเกตและแคลเซียมอะลูมิเนต โดยค่ากำลังอัดที่อายุ 90 วันมีค่าเท่ากับ 35 เมกะปานาแคล

6. กิตติกรรมประกาศ

งานวิจัยนี้ได้รับทุนสนับสนุนจากศูนย์ความเป็นเลิศด้านนวัตกรรมทางเคมี (PERCH-CIC) สำนักงานคณะกรรมการการอุดมศึกษา กระทรวงศึกษาธิการ และเงินรายได้ (เงินอุดหนุนจากรัฐบาล) มหาวิทยาลัยบูรพา ประจำปีงบประมาณ 2556

7. เอกสารอ้างอิง

- [1] P. Chindaprasirt, "Fly ash in concrete", revised edition, Thailand Concrete Association, Bangkok, 2005. (in Thai)
- [2] U. Rattanasak, "Geopolymeric material", Civil Engineering Magazine 18(5), 2006, pp. 55-60. (in Thai)
- [3] P. Chindaprasirt and U. Rattanasak, "Utilization of blended fluidized bed combustion (FBC) ash and pulverized coal combustion (PCC) fly ash in geopolymer", Waste Management 30, 2010, pp. 667-672.
- [4] P. Chindaprasirt, U. Rattanasak, and C. Jaturapitakkul, "Utilization of fly ash blends from pulverized coal and fluidized bed combustions in geopolymers materials", Cement and Concrete Composites 33, 2011, pp. 55-61.
- [5] BE. Sheet, and S. Kwan, "Control of ettringite swelling". Combustion Byproducts Recycling Consortium Ashlines. 4, 2003. pp. 1-10.
- [6] M. Inada, H. Tsujimoto, Y. Eguchi, N. Enomoto and J. Hojo, "Microwave-assisted zeolite synthesis from coal fly ash in hydrothermal process" Fuel 84, 2005, pp. 1482-1486.
- [7] U. Rattanasak and P. Chindaprasirt, "Influence of NaOH solution on the synthesis of fly ash geopolymer", Minerals Engineering 22, 2009, pp. 1073-1078.

Microstructure of Alkali-Activated FBC Fly Ash Composites with Al(OH)_3 and Silica Fume

Ubolluk Rattanasak, Supranee Kaewpirom, Siwanant Thaiwitcharoen and Pattanapong Paisitsrisawat

Abstract—This research aimed to improve the microstructure of alkali-activated FBC fly ash composites, or geopolymers, by blending it with aluminium hydroxide (Al(OH)_3) and silica fume (SF). Blended powder was mixed with sodium silicate (Na_2SiO_3) and 15M sodium hydroxide (NaOH) with Na_2SiO_3 -to-NaOH ratio of 2. Microstructure of composites was studied by Scanning electron microscope (SEM). X-ray diffraction (XRD) and Fourier transform infrared spectroscopic (FT-IR) analyses were also performed. The results showed that aluminosilicate (Al_2SiO_5) and calciumsilicate (CaSiO_4) were detected on XRD patterns owing to the copolymerization reaction in composites. Al(OH)_3 and SF helped to improve the microstructure of composites showing dense and homogeneous matrix. A shift in Si-O stretching vibration replied the reaction in the composites.

Keywords—Alkali-activated FBC fly ash, Aluminium hydroxide, microstructure, Silica fume.

I. INTRODUCTION

Fly ash is an industrial waste normally used to replace Portland cement for concrete production. Pulverized coal combustion (PCC) fly ash can be used owing to high burning temperature ($>1200^\circ\text{C}$) and its high glassy phases. However, it can only partially replace Portland cement since SiO_2 and Al_2O_3 in fly ash still need $\text{Ca}(\text{OH})_2$ from Portland cement hydration reaction for its pozzolanic reaction to produce calcium silicate hydrate and calcium aluminate hydrate. Recently, fluidized bed combustion (FBC) fly ash is increasing since FBC is an environmentally-friendly technique for coal combustion process. With low burning temperature of $800-900^\circ\text{C}$, FBC fly ash has low glassy phase and possess very low pozzolanic property with high content of sulfur and calcium compound [1, 2]. Therefore, FBC fly ash is less preferable in concrete mixture. This sulfur can react with aluminium compound (in FBC fly ash) leading to the ettringite formation. The growth of ettringite in hardened geopolymer can lead to a deleterious effect on mechanical properties of the material [3]. Alkali-activated fly ash, or geopolymers, are focused with increasing research efforts as the need to reduce global CO_2 emissions. Due to excellent mechanical strength and resistance attack by aggressive environments, these materials represent

U. Rattanasak and S. Kaewpirom are with the Department of Chemistry and Center for Innovation in Chemistry, Faculty of Science, Burapha University, Chonburi 20131, Thailand (phone: +66-38-103-066; fax: +66-38-3-494; e-mail: ubolluk@buu.ac.th).

S. Thaiwitcharoen and P. Paisitsrisawat were a graduate student of the Department of Chemistry, Faculty of Science, Burapha University, Chonburi 20131, Thailand.

an opportunity to simultaneously improve both environmental and engineering performance. PCC fly ash and metakaolin are the effective resource for geopolymer synthesis owing to its high reactivity than FBC fly ash.

Researchers reported that the FBC fly ash can be used as a source material for producing the alkali-activated FBC fly ash composites [4]-[6]. This composite is an alumino-silicate compound prepared by incorporating high alkaline and sodium silicate solutions under low heat curing. The composite can be used as cementitious binders and products with no high strength requirement, in addition to an effective method to recycle FBC fly ash [7]-[8].

Since the calcium compounds in FBC fly ash can react with aluminium and silicon compounds in FBC forming alumino-silicate and calcium-silicate in composite, therefore, this research added the external Al(OH)_3 and silica fume (high amorphous SiO_2) into the mixture in order to increase the product and improve the chemical properties of the composites. Due to Al(OH)_3 used, the ettringite formation in composites was controlled by using high concentration NaOH of 15 molar [9]. Al(OH)_3 and silica fume should increase the reactivity of raw materials and react with calcium, aluminium and silicon compounds in FBC fly ash obtaining the additional products. This would result the composites in good microstructure and chemical properties.

Therefore, this research studied on the use of Al(OH)_3 and silica fume in alkali-activated FBC fly ash. Microstructure and chemical reaction were focused.

II. EXPERIMENTAL PROCEDURE

A. Materials

Sub-bituminous FBC-fly ash was obtained from small power plant and used as a source material for composite synthesis. Chemical composition of this FBC fly ash determined by X-Ray fluorescence (XRF) is shown in Table I. FBC fly ash had quartz (SiO_2), alumina (Al_2O_3) as can be the starting material for the synthesis. High CaO content of 42.2 % was detected due to the addition of lime to absorb sulfur. This fly ash had the particle size (D_{50}) of 28 μm . It had high glassy phase owing to the low burning temperature of 900°C . Morphology of FBC fly ash was analyzed by X-ray diffraction (XRD) as shown in Fig. 1. Al(OH)_3 and silica fume (SF) were also used as the additional source of aluminium and silicone compounds for composite synthesis. Sodium hydroxide (NaOH) pellet was dissolved with distilled water to provide 15

M NaOH solution. In addition, Na₂SiO₃ solution (30%wt SiO₂ and 9%wt Na₂O) was used as alkali activator.

TABLE I
CHEMICAL COMPOSITION OF FBC FLY ASH

Compositions	%wt
SiO ₂	21.5
Al ₂ O ₃	8.0
Fe ₂ O ₄	6.9
CaO	42.2
Na ₂ O	2.9
TiO ₂	2.4
MgO	0.8
SO ₃	1.8

TABLE II
MIX PROPORTIONS OF COMPOSITES (GRAMS)

Samples	FBC fly ash	Al(OH) ₃	SF	Na ₂ SiO ₃	15 M NaOH
Control	40	-	-	40	20
2.5Al	39	1	-	40	20
3.75SF	38.5	-	1.5	40	20
2.5Al_3.75SF	37.5	1	1.5	40	40

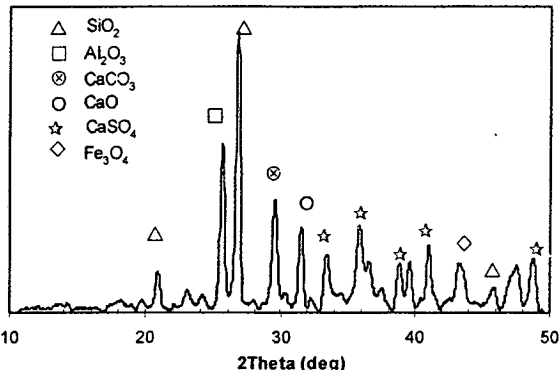


Fig. 1 XRD pattern of FBC fly ash

B. Composite Preparation

Al(OH)₃ and SF were used to replace FBC fly ash in mixture as shown in Table II. For preliminary study, percent replacements of 2.5%wt Al(OH)₃ and 3.75%wt SF were chosen owing to high strength gain of composites. All powdery materials were ground with ceramic ball mills (500 rpm) for 2 hr resulting in the particles with average sizes in range of 5-7 μm. 100% FBC fly ash composite was used as the control. Blend powders were thoroughly mixed with 15 M NaOH and Na₂SiO₃ (Na₂SiO₃-to-NaOH mass ratio of 2) for 3 min before casting in plastic mold. Specimens were then removed the air bubble using vibrating machine for 10 sec and cured in 65°C oven for 24 hr. Hardened specimens were kept in 25°C chamber and tested the properties at the age of 30 days. SEM, XRD and FT-IR analyses were performed on the ground composites.

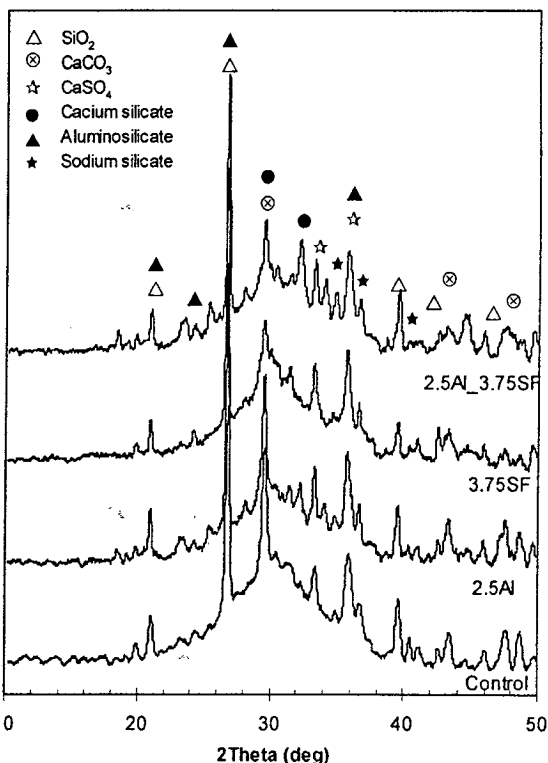


Fig. 2 XRD patterns of composites

III. RESULTS AND DISCUSSIONS

A. XRD pattern

XRD pattern of composites are shown in Fig. 2. Numerous sharp peaks of crystalline phases were detected in the control and composites. Height of sharp peaks decrease with addition of Al(OH)₃ and SF, e.g. at 29° 2θ owing to the conversion of CaCO₃ to calcium silicate compound. In addition, calcium silicate can be found at 32° 2θ. Comparing with original FBC fly ash, the composites had broad peak from 24-38° 2θ with sharps peaks replying the conversion to semi-crystalline material during the geopolymmerization process [6, 10]. Amorphous phases of composites resulted in the disorder of chemical structure. In addition to calcium silicate, aluminosilicate and sodium silicate compounds were found in the composites. Sodium silicate was occurred in the presence of high alkali concentration and amorphous silica (e.g. silica fume). It was highly detected in composite with both Al(OH)₃ and SF (2.5Al_3.75SF sample).

B. FT-IR spectra

FT-IR spectra of FBC fly ash and composites were recorded in wavenumber range of 3000-400 cm⁻¹ as shown in Fig. 3. In general, the absorption band was related to the vibration at a specific configuration of chemical bonding. The oxide

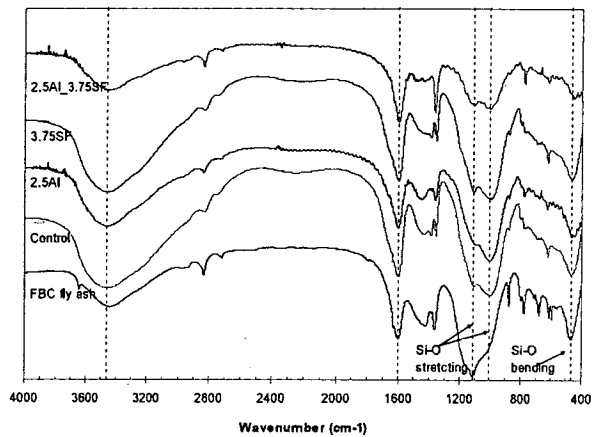


Fig. 3 FT-IR spectra of composites

compounds of Si and Al, which were the product of the reaction, were focused on the composites.

For Fig. 3, fly ash showed the distinct band near 460 cm⁻¹ ascribing to the O-Si-O bending mode [11]. The Si-O-Si and Si-O-Al stretching vibration was detected at the wave number ange of 1200-950 cm⁻¹. The Si-O-Si stretching vibration was more prominent than the O-Si-O bending mode. The vibrations assigned to bending (H-O-H) and stretching of (-OH) groups were observed in 1600 and 3450 cm⁻¹ regions, respectively.

In composites, Si-OH stretching mode was found at 850 cm⁻¹. The stretching modes were sensitive to the Si-Al composition of the framework and could shift to a lower frequency with increasing number of tetrahedral aluminum atoms [12]. In addition, Si-O vibration at 1100 cm⁻¹ in fly ash shifted to lower wavenumber of 1000 cm⁻¹ replying the chemical bonding change in composites. This can be due to the change of heat of formation (ΔH_f) from Si-O bond in SiO_2 form to new Si-O bond in composites.

C. Microstructure

Fig 4 shows the microstructure of composites. For control with only FBC fly ash, non-homogeneous and loose matrix was found. Owing to low reactive FBC fly ash with crystalline, reacted FBC fly ash particles was also seen with fluffy-like surface. Reaction with alkali solution occurred on fly ash surface. Fly ash composes of crystalline phases in the interior and a glassy phase of silica and alumina at the surface layer [13]. This glassy phase plays an important role in gel formation due to the high solubility in the alkaline solution [14].

Use of 2.5% $\text{Al}(\text{OH})_3$ provided more dense and homogeneous matrix than control and that of 3.75% SF (3.75SF sample). $\text{Al}(\text{OH})_3$ could result in the alumino-silicate formation leading to dense composite. $\text{Al}(\text{OH})_3$ dissolved in strong alkali solution forming aluminate ion. This ion can react with silica and calcium compounds in FBC fly ash to form alumino-silicate and calcium aluminate hydrate (CAH), respectively [3].

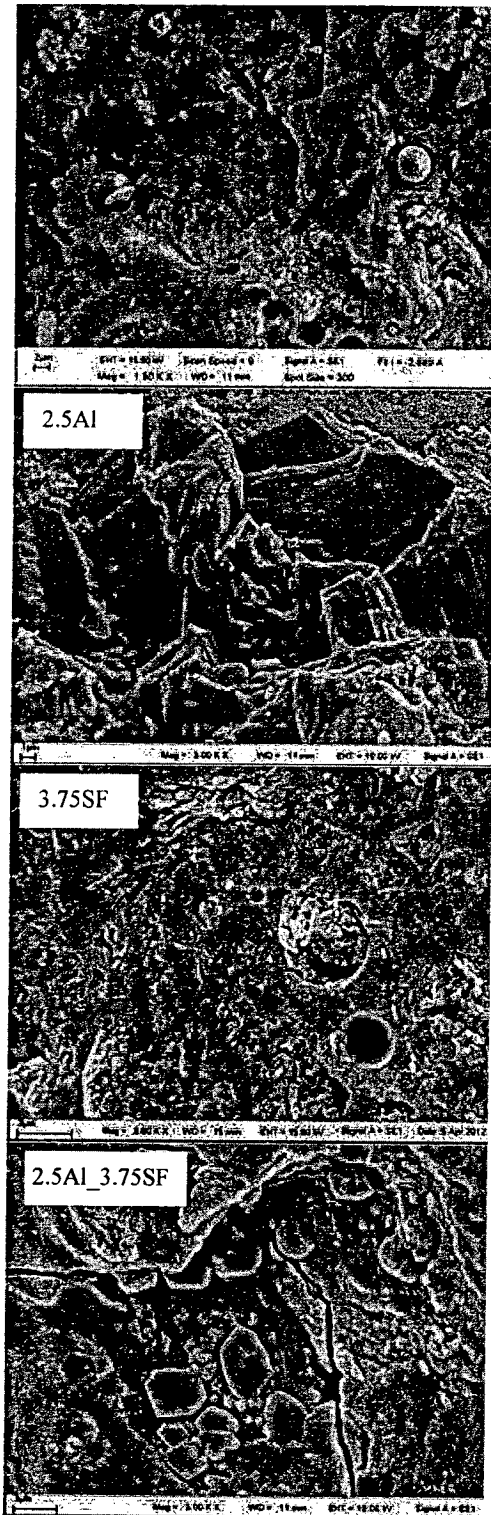


Fig. 4 SEM micrographs of composites

With 3.75% SF in composite, silica fume (SiO_2) can react with 15 M NaOH and calcium oxide forming calcium silicate hydrate. In addition to product compounds, the unreacted fly ash particles were also found. Reaction occurred at the surface of fly ash and silica fume and resulted in the binding property

of the material. Several microcracks and pores were seen. Owing to high reactivity of silica fume, many types of product can be formed, e.g. plate-like products in the composite matrix and fly ash holes. Denser matrix was detected comparing with the control.

Addition of both Al(OH)_3 and SF in the mixture 2.5Al_3.75SF sample) also resulted in denser matrix comparing with the control. However, cracks and more crystalline compounds occurred. It could be due to high content of active reactants (Al(OH)_3 and SF) in mixture leading to higher formation of zeolite (crystalline compounds). Both cracks and zeolite formation were unpleasant requirement for composites that caused the low physical properties, e.g. low compressive strength [15].

IV. CONCLUSIONS

Microstructure of alkali-activated FBC fly ash composites can be improved by using of Al(OH)_3 and SF. Homogeneous and denser matrix was obtained. A shift of Si-O vibration was found implying the chemical bonding change in composites. Alumino-silicate, calcium silicate and sodium silicate were product from the reaction. In addition, cracks and zeolite were formed that could hinder the physical properties of composites.

ACKNOWLEDGMENT

Authors would like to thank Faculty of Science, Burapha University, Thailand for financial support.

REFERENCES

- [1] P. Basu, "Combustion of coal in circulating fluidized-bed boilers: a review," *Chem Eng Sci*, vol. 54, no 22, pp. 5547-5557, 1999.
- [2] F. D. Botha, (2004). "Overview of the fluidized bed combustion process and material," in *Proc. State Regulation of Coal Combustion By-Product Placement at Mine Sites: A Technical Interactive Forum*, Harrisburg, 2004, pp. 1-4.
- [3] S. Mindess, J. F. Young, D. Darwin, *Concrete*, 2nd edition Prentice Hall, New Jersey, 2003, pp. 75-81.
- [4] M. A. Glinicki, M. Zieliński, "The effluence of CFBC-fly ash addition on the phase composition of air-entrained concrete," *B Pol Acad Sci*, vol. 56, no. 1, pp. 45-52, 2008.
- [5] J. Havlica, J. Brandstetr, I. Odler, "Possibilities of utilizing solid residues from pressured fluidized bed coal combustion (PSBC) for the production of blended cements," *Cem Concr Res*, vol. 28, no. 2, pp. 299-307, 1998.
- [6] P. Chindaprasirt, U. Rattanasak, "Utilization of blended fluidized bed combustion (FBC) ash and pulverized coal combustion (PCC) fly ash in geopolymers," *Waste Manage*, vol. 30, no. 4, pp. 667-672, 2010.
- [7] H. Xu, H. Li, L. Shen, M. Zhang, J. Zhai, "Low-reactive circulating fluidized bed combustion (CFBC) fly ashes as source material for geopolymer synthesis," *Waste Manage*, vol. 30, no. 1, pp. 57-62, 2010.
- [8] J. Davidovits, "Geopolymers Inorganic polymeric new materials," *J Therm Anal Calorim*, vol. 37, pp. 1633-1656, 1991.
- [9] B. E. Sheetz, S. P. I. Kwan, Control of ettringite swelling, *Ashlines*, vol. 4, no. 1, pp. 1-10, 2003.
- [10] P. Chindaprasirt, U. Rattanasak, C. Jaturapitakkul, "Utilization of fly ash blends from pulverized coal and fluidized bed combustions in geopolymeric materials," *Cem Concr Comp*, vol. 33, pp. 55-60, 2011.
- [11] P. Chindaprasirt, C. Jaturapitakkul, W. Chalee, U. Rattanasak, "Comparative study on the characteristics of fly ash and bottom ash geopolymers" *Waste Manage*, vol. 29, no. 2, pp. 539-543, 2009.
- [12] W. K. W. Lee, J. S. J. Van Deventer, "Structural reorganization of class F fly ash in alkaline silicate solutions," *Colloids Surf. A*, vol 211, pp. 49-66, 2002.
- [13] M. Inada, H. Tsujimoto, Y. Eguchi, N. Enomoto, J. Hojo "Microwave-assisted zeolite synthesis from coal fly ash in hydrothermal process," *Fuel*, vol. 84 no. 12-13, pp. 1482-1486, 2005.
- [14] P. Chindaprasirt, U. Rattanasak, S. Taebuanhuad, "Resistance to acid and sulfate solutions of microwave-assisted high calcium fly ash geopolymers," *Mater Struct*, vol. 46, no. 3, pp. 375-381, 2013.
- [15] U. Rattanasak, P. Chindaprasirt, P. Suwanvitaya, 2010, Development of high volume rice husk ash alumino-silicate composite, *Int J Miner Metall Mater*, vol. 17, no. 5, pp. 654-659, 2010.